

## [168] 軸力を受けるはり S・柱 SRC で構成されるト字形骨組の柱はり接合部の終局強度

正会員 若林 實 (京都大学防災研究所)

正会員 南 宏一 (大阪工業大学工学部)

正会員 ○ 西村泰志 (大阪工業大学工学部)

### 1 序

高層骨組の構造形式として、柱は鉄骨鉄筋コンクリート、はりは純鉄骨とした構造形式が数多く用いられている。しかしながら、柱はり接合部におけるはり部材から柱部材への応力伝達機構は明らかにされないまま用いられているのが現状である。この様な観点から、既報<sup>1)</sup>では柱は任意の鉄骨量を有する鉄骨鉄筋コンクリート、はりは純鉄骨で構成されるト字形骨組で柱材には軸力の負荷されない試験体を用いて実験的および理論的に柱はり接合部の応力伝達機構を明らかにし、その応力伝達機構に基づく耐力の評価法を提案した。本報は柱材に一定軸力が負荷されたト字形の部分骨組の試験体を用いて実験を行ない、既報で提案された耐力評価法の妥当性を検討するものである。

### 2 実験計画

試験体は図1に示す様に柱は任意の鉄骨量を有する鉄骨鉄筋コンクリート、はりは純鉄骨で構成されるト字形の部分骨組である。試験体はこのト字形の部分骨組に水平荷重系の外力が作用した場合の応力状態を想定して、柱材とはり材の純曲げ強度がほぼ同一になる様に設計された。実験変数は柱材の純曲げ強度Moを一定として柱断面を構成する鉄骨部分の純曲げ強度Msとの比Ms/Moとし、Ms/Mo=0, 0.34, 0.65, 1.00の4種類、計4体の試験体が計画された。なお、Ms/Mo=0は柱材が鉄筋コンクリート構造である。試験体は図1に示す様に各試験体ともその形状寸法は同一である。なお、柱はり接合部の鉄骨ウェブパネルはI16が用いられ、6φのせん断補強筋が50mmの間隔で設けられている。本実験は柱材の両端を回転支点として、柱材の中心圧縮強度の20%の一定荷重を負荷したのち、はり部材端部に正負の漸増くり返し荷重を負荷するものである。表1に使用材料の力学的特性を示す。

### 3 実験結果

図2に各試験体の履歴曲線を示す。縦軸ははり部材端部に負荷された荷重P、横軸ははり部材端部の変形より求められた骨組としての部材角Rを示す。なお、図中のbPははり部材の曲げ強度から決定される荷重である。S0652NおよびS1002Nでは実験から求められた耐力ははり部材の曲げ強度を発揮しており、エネルギー散逸量の大きい紡錘形の履歴性状を示す。一方、S0352Nの実験から求められた耐力ははり部材の曲げ強度の95

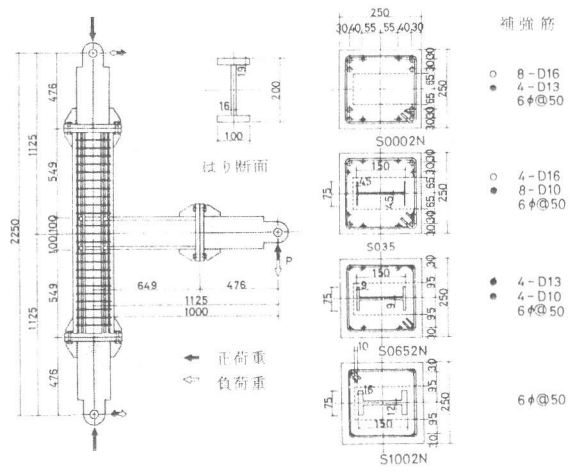


図1. 試験体の形状寸法および断面図

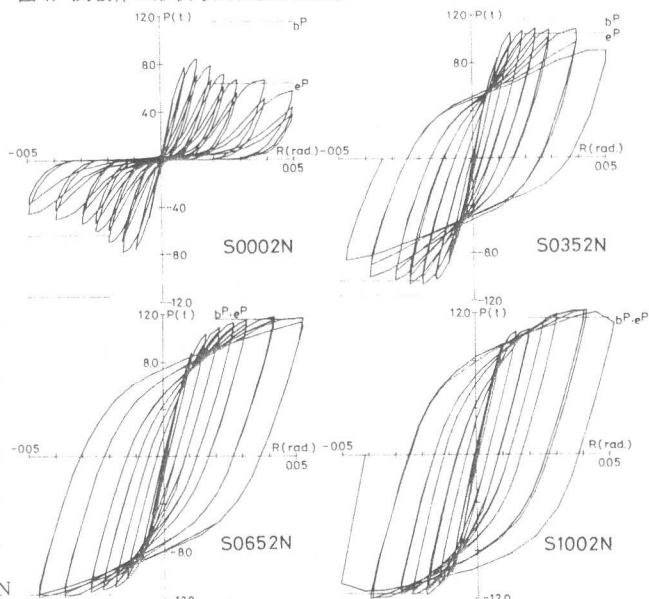


図2. 履歴特性

%程度である。履歴曲線は既報の軸力の負荷されない試験体にみられるすべり現象はほとんどなくほぼ紡錘形である。しかしながら、既報の軸力の負荷されない試験体では最大耐力の発現する部材角は0.03~0.04radと遅く、最大耐力発現後も耐力の低下はほとんどみられないのに対し、S0352Nでは部材角が0.015~0.020radで最大耐力を發揮し、以後履歴曲線は負勾配となる。これは軸力が作用することによって柱はり接合部のはり部材上下端に接触する部分のコンクリートの支圧強度の発現がはやめられる為と考えられる。以上のことから、柱材とはり材の鉄骨量の比率が鉄骨・鉄筋コンクリート構造計算規準<sup>2)</sup>同解説で推奨される値以下であっても、コンクリートの支圧強度を増大させ、かつ、支圧強度を維持させる補強法あるいはコンクリートの支圧強度に依存する割合を減少させる補強法、たとえば、はり部材上下端のコンクリートを帯筋で拘束するあるいははり部材にアンカー筋を溶植する等の補強をおこなえば応力伝達に関する問題は解決されるのではないかと考えられる。なお、S0002Nの実験から求められた耐力ははり部材の曲げ強度の70%程度であり、履歴曲線はエネルギー散逸量の小さい逆S字形である。最大耐力の発現がはやまること、最大耐力以後履歴曲線は負勾配となることの性状はS0352Nと同じである。

#### 4 応力伝達機構

図3は実験結果の知見に基づいて、はり部材から柱部材への応力伝達機構を各部材の自由体の釣り合い状態によって示したものである。図3(a)は鉄筋コンクリート柱に純鉄骨のはり材が接合された場合で、はり部材に作用する外力は鉄筋コンクリート柱に埋込まれた部分のてこ機構によって上下の柱材へと伝達される。図3(b)は鉄骨の柱に鉄骨のはりが接合された場合である。この場合の柱はり接合部におけるはり部材から柱部材の応力伝達は従来の純鉄骨の柱はり接合部の取扱いと同じであるが、はり部材でのてこ機構の観点にたてば、柱材はてこ作用に対する補強材としての役割を果すことを示している。柱材が鉄骨・鉄筋コンクリート構造の場合、図3(a)

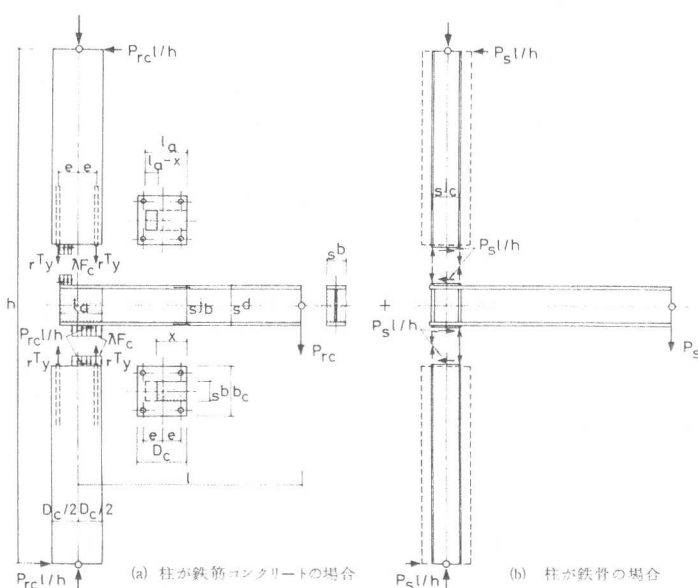


図3. 応力伝達機構

#### 5. 耐力の評価法

前述の応力伝達機構を有するト字形部分骨組の耐力を累加強さの考え方に基づいて評価する手法を紹介する。耐力を決定する要因は(1)部材の強さ、(2)接合部パネルの強さの2つに大別される。本実験では、柱はり接合部に数多くの斜張力ひび割れが生じ、圧縮場の構成を示すひび割れ状況が観察された。しかしながら、測定された接合部パネルの変形によって生ずる部材角は、実験から求められた骨組としての部材角Rに対してあまり大きくなく試験体

表1. 使用材料の力学的特性、実験結果および解析結果

試験体 $M_s/M_o^{*1})$	鉄骨			鉄筋		コンクリート		作用軸力 $N_a$ (t)	最大荷重 $P_{max}$ (t)	はり材の曲げ強度		解析値 $P_{max}/P_{theo}^{*4})$ (t)	$P_{max}/P_{theo}$ (t)
	$\sigma_y^{*2})$ (t/cm <sup>2</sup> )	$\sigma_y^{*3})$ (t/cm <sup>2</sup> )	$F_c^{*3})$ (kg/cm <sup>2</sup> )							$b^P$ (t)	$P_{max}/b^P$ (t)		
S0002N 0	E. 4.5 3.09	E. 9 2.86	E. 12 2.89	E. 16 2.38	E. 19 2.63	D10 3.52	D13 4.04	316	55.4	8.47 (7.91)*5)	0.734 (0.685)	6.36 (1.24)	1.33 (1.24)
S0352N 0.34	E. 9 2.86	E. 12 2.89	E. 16 2.38	E. 19 2.63					57.8	11.00 (10.87)	0.953 (0.942)	10.32 (1.05)	1.06 (1.05)
S0652N 0.65			D13 4.04						60.6	11.97 (11.97)	11.54 (1.04)	1.04 (1.04)	1.04 (1.04)
S1002N 1.00			D16 3.52						60.8	12.51 (12.19)	1.08 (1.06)	11.54 (1.06)	1.08 (1.06)

\*1) この値は実験計画の段階での値で、鉄骨部分および鉄筋・コンクリート部分の負担モーメントを各々  $M_s$  および  $M_{fc}$  とすると  $M_s/(M_s + M_{fc})$  によって求められた。

\*2) 降伏応力度 \*3) 圧縮強度

\*4)  $mM = \min(cM, bM, beM)$  の条件より計算された結果

\*5) 負荷重

の耐力は接合部パネルの強さによって決定されないと推察されるので、本報では、主に、部材に基づく強さの評価法について述べる。なお、接合部パネルの強さに関する評価法は既報<sup>1)</sup>を参照されたい。

部材に基づく強さは柱およびはり材の強さ、埋込まれた鉄骨部分のてこ機構による強さの3つが考えられる。柱およびはり材のせん断破壊はないものとし、任意の軸力N<sub>a</sub>における柱、はりおよび埋込まれた鉄骨部分のてこ機構による曲げ抵抗力をcM、bMおよびbeMとすると、部材に基づく強さmMは

$$mM = \min(cM, bM, beM)$$

の条件によって決定される。

柱およびはり部材の曲げ抵抗力cM、bMは累加強さ法によって容易に求めることが可能である。埋込まれた鉄骨部分のてこ機構に対する抵抗力は鉄骨部材上下面でのコンクリートの支圧強度F<sub>c</sub>に基づくコンクリートの抵抗力、柱はり接合部における主鉄筋の引張力による抵抗力および埋込まれた鉄骨部分に接合される柱鉄骨の抵抗力の累加によって評価できる。図4にてこ機構による抵抗力を示す。縦軸は無次元化軸力n、横軸は無次元化抵抗モーメントm<sub>1</sub>、m<sub>2</sub>である。なお、m<sub>1</sub>およびm<sub>2</sub>は鉄骨部材下面および上面の部材接合端での抵抗モーメントを示し、各々実線および破線で示されている。図4のbeIcはコンクリート、beIrは主鉄筋およびcIsは柱の鉄骨断面の耐力線を示す。beIsrはbeIc、beIrおよびcIsを累加して求められた柱が鉄骨鉄筋コンクリート構造の場合のてこ機構に対する耐力線であり、次式の様に表現される。

$$\begin{aligned} & n_0 \leq n \leq n_1 \\ & m_1 = -\frac{1}{2}(n-n_0)\{1-(n-n_0)/\alpha\} \\ & n_1 \leq n \leq n_2 \\ & m_1 = \frac{\alpha}{8}(1-sD_1^2) + sD_1(n-n_1)/2 \\ & n_2 \leq n \leq n_3 \\ & m_1 = (\frac{s}{s}u_f + \frac{s}{4}u_w)sD_1 + (n+\frac{s}{2}u_w+2r u_t)(1-(n+\frac{s}{2}u_w+2r u_t)/\alpha)/2 \\ & n_3 \leq n \leq n_4 \\ & m_1 = (\frac{s}{s}u_f + \frac{s}{4}u_w)sD_1 + \frac{\alpha}{8} \\ & n_4 \leq n \leq n_5 \\ & m_1 = (\frac{s}{s}u_f + \frac{s}{4}u_w)sD_1 + (n-\frac{s}{2}u_w)(1-(n-\frac{s}{2}u_w)/\alpha)/2 \\ & n_5 \leq n \leq n_6 \\ & m_1 = \frac{\alpha}{8}(1-sD_1^2) + \frac{s}{2}(2s u_f - n + n_5 + \frac{s}{2}u_w) \\ & n_6 \leq n \leq n_7 \\ & m_1 = \frac{1}{2}(n-2s u_f - s u_w)\{1-(n-2s u_f - s u_w)/\alpha\} \end{aligned}$$

$$\begin{aligned} & n_0 \leq n \leq n_1 \\ & m_2 = -\frac{1}{2}(n-n_0)\{2\beta-1-(n-n_0)/\alpha\} \\ & n_1' \leq n \leq n_2' \\ & m_2 = -\alpha\beta(\beta-1)/2 - \alpha(1-sD_1^2)/8 - (n-n_1')sD_1/2 \\ & n_2' \leq n \leq n_3' \\ & m_2 = -(\frac{s}{s}u_f + \frac{s}{4}u_w)sD_1 - (n+\frac{s}{2}u_w+2r u_t)\{2\beta-1-(n+\frac{s}{2}u_w+2r u_t)/\alpha\}/2 \\ & n_3' \leq n \leq n_4' \\ & m_2 = -(\frac{s}{s}u_f + \frac{s}{4}u_w)sD_1 + \frac{1}{2}\alpha\beta(1-\beta) - \frac{\alpha}{8} \\ & n_4' \leq n \leq n_5' \\ & m_2 = -(\frac{s}{s}u_f + \frac{s}{4}u_w)sD_1 - (n-\frac{s}{2}u_w)\{2\beta-1-(n-\frac{s}{2}u_w)/\alpha\}/2 \\ & n_5' \leq n \leq n_6' \\ & m_2 = -\frac{1}{2}\alpha\beta(\beta-1) - \frac{\alpha}{8}(1-sD_1^2) - sD_1(2s u_f - n + n_5' + \frac{s}{2}u_w)/2 \\ & n_6' \leq n \leq n_7 \\ & m_2 = -\frac{1}{2}(n-2s u_f - s u_w)\{2\beta-1-(n-2s u_f - s u_w)/\alpha\} \end{aligned}$$

ここで

$$\begin{aligned} n_0 &= -2s u_f - s u_w - 2r u_t, & n_1 &= \frac{\alpha}{2}(1-sD_1) + n_0, & n_2 &= n_1 - \frac{s}{2}u_w + 2r u_t, & n_3 &= n_2 + \frac{\alpha}{2}sD_1, \\ n_4 &= \frac{1}{2}(\alpha + s u_w), & n_5 &= \alpha(1 + s D_1)/2 + \frac{s}{2}u_w, & n_6 &= \frac{\alpha}{2}(1 + s D_1) + 2s u_f + s u_w, & n_7 &= \alpha\beta + 2s u_f + s u_w, \\ n_1' &= \alpha\beta - \alpha(1 + s D_1)/2 + n_0, & n_2' &= n_1' - n_0 - \frac{s}{2}u_w - 2r u_t, & n_3' &= \alpha(\beta - \frac{1}{2}) + n_2' - n_1' + n_0, \\ n_4' &= \alpha(\beta - \frac{1}{2}) + \frac{s}{2}u_w, & n_5' &= n_4' + \alpha\frac{s}{2}D_1, & n_6' &= n_5' + 2s u_f + \frac{s}{2}u_w, & \alpha &= \frac{s}{b} \lambda, & \beta &= \frac{a}{D_c}, \\ r u_t &= \frac{r p_t r \sigma_y}{F_c}, & s u_f &= \frac{s A_f s f \sigma_y}{b_c D_c F_c}, & s u_w &= \frac{s A_w s w \sigma_y}{b_c D_c F_c}, & s D_1 &= \frac{s D}{D_c}, \end{aligned}$$

$\lambda$  : 局部支圧係数

$r p_t$  : 鉄筋比

$n_a$  : 埋込み長さ

$s b$  : はり部材の幅

$F_c$  : コンクリートの圧縮強度

$r \sigma_y, s f \sigma_y, s w \sigma_y$  : 主鉄筋、フランジおよびウエブの降伏応力度

$s A_f, s A_w$  : 柱鉄骨のフランジおよびウエブの断面積

$s D$  : 柱の鉄骨せい

$b_c, D_c$  : 柱幅および柱せい

この耐力線を用いて、任意の軸力n<sub>a</sub>における埋込まれた鉄骨部材のてこ機構による抵抗モーメントbeMは、柱材の

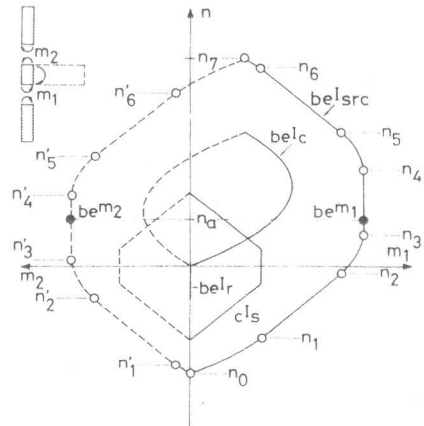


図4. てこ機構による抵抗力

部材接合端での強さに置換して  $(bem_1 + bem_2) \cdot (\frac{h}{2} - \frac{s_d}{2}) / h$  によって評価される。

## 6 耐力評価の妥当性

図5に前述の耐力評価法によって求められた各試験体の耐力線を示す。縦軸は無次元化軸力  $n$ 、横軸は無次元化抵抗モーメント  $m_1, m_2$  である。図中の  $beIrc, beIsr$  は鉄骨部材のてこ機構による耐力線、 $bIb$  ははり部材の抵抗モーメントで柱材の強さに置換して示されている。また、 $cIrc, cIsr$  は柱材の耐力線を示す。 $beIrc, beIsr$  の算定にあたって、局部支圧係数  $\lambda$  の値の決定が大きな要因となる。図6は、この様な観点から  $250mm \times 250mm \times 375mm$  のコンクリートブロックを用いて行われた支圧実験の結果を示したものである。縦軸は局部支圧係数  $\lambda$ 、横軸は図3(a)に示すコンクリートの応力塊を想定した中立軸の位置  $x$  を示す。この結果から、鉄骨部材の上下面で  $\lambda$  の値は異なり、かつ、中立軸の位置  $x$  によっても値は異なる。しかしながら、各シリーズとも  $\lambda$  の値に、あまり大きな差はなく平均1.90である。本支圧実験では補強筋が用いられないが破壊状況からその効果は大きいと考えられるが、また一方では、支圧力に基づく摩擦力によって  $\lambda$  の値は低下することも予測されるので、一概に本実験結果からのみ  $\lambda$  の値を決定することは困難である。本報では、これらの実験結果および著者らの既往の研究結果<sup>4)</sup>に基づいて  $\lambda = 2.0$  の値が採用された。図7に実験値と解析値との対応を示す。縦軸は実験値、横軸は解析値である。図中に比較のために既報の軸力が負荷されない場合の解析結果を示す。解析値は実験値と良く一致しており、本耐力評価法の妥当性が示されると考えられる。なお、図2のePは解析値を示す。

## 7 結語

柱は任意の鉄骨量を有する鉄骨鉄筋コンクリート、はりは純鉄骨で構成されるト字形の部分骨組の柱材に一定軸力が負荷された場合でも、既報で示された軸力が負荷されない場合と同様、埋込まれた鉄骨部分のてこ機構による耐力の評価法によって実験値が良く説明できることが示された。また、柱材とはり材の鉄骨量の比率が鉄骨鉄筋コンクリート構造計算規準・同解説で推奨される値以下の場合でも、支圧強度を増大させるあるいは支圧強さに依存する割合を減少させる補強をおこなえば応力伝達に関する問題は解決されると考えられる。

## 8 参考文献

- 1) 若林・南・西村：異種構造部材で構成される柱はり接合部の応力伝達機構、第5回コンクリート工学年次講演会講演論文集、1983年6月、pp. 429～432
- 2) 日本建築学会：鉄骨鉄筋コンクリート構造計算規準・同解説、1975年、pp. 144～145
- 3) 構造標準委員会：鉄筋コンクリート終局強度設計に関する資料 シリーズ23 コンクリートの支圧強度、建築雑誌、Vol. 96、No. 1180、1981年6月、pp. 71～78
- 4) 南・西村・栗沢：埋込式鉄骨部材定着部の応力伝達機構に関する基礎的研究、日本建築学会近畿支部研究報告集 第22号構造系、昭和57年6月、pp. 71～74

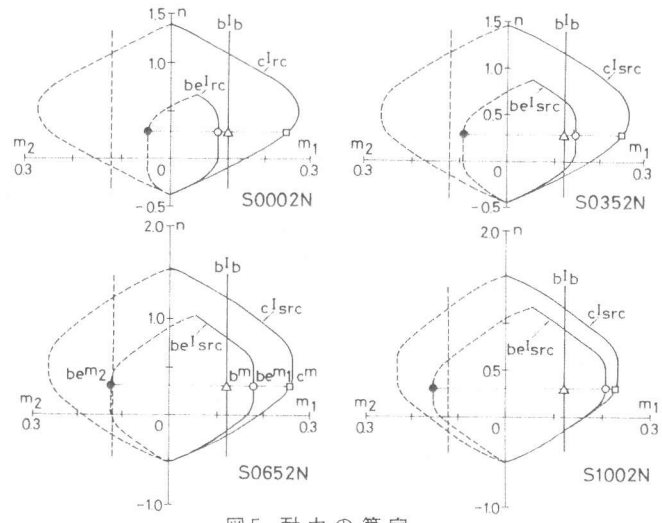


図5. 耐力の算定

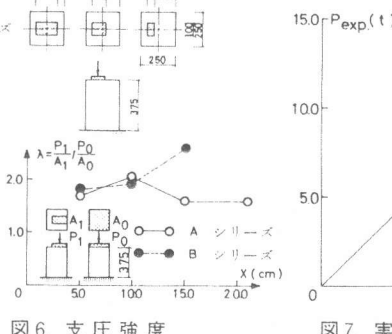
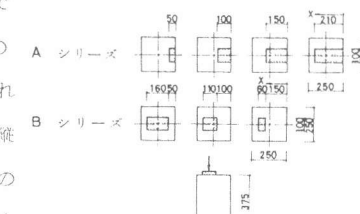


図6. 支圧強度

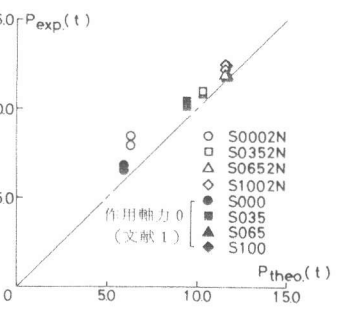


図7. 実験値と解析値の比較